

## АТОМНАЯ И ЯДЕРНАЯ ФИЗИКА

УДК 539.141

### О ФОРМЕ ДВУХЧАСТИЧНЫХ РЕЗОНАНСОВ, РАСПАДАЮЩИХСЯ В ПОЛЕ ЗАРЯЖЕННОЙ ЧАСТИЦЫ

Ф. И. Карманов, В. В. Комаров, А. М. Попова, Н. А. Сотникова, В. Л. Шаблов  
(НИИЯФ)

Исследовано влияние кулоновского и ядерного полей на двухчастичные ядерные резонансы в случае, если одна из частиц, образующих резонанс, заряжена.

В настоящей работе рассматриваются ядерные реакции типа  $a + b \rightarrow x_1 + x_2 + x_3$  при условии, что в паре  $(x_2 x_3)$  наблюдается короткоживущий ядерный резонанс, и изучается влияние кулоновского и ядерного полей частицы  $x_1$  на распад этого резонанса. Для определенности мы ограничиваемся случаем, когда заряженными являются только частицы  $x_1$  и  $x_2$ . Как пример рассмотрено искажение резонансного максимума в системе  $(\alpha n)$ , образующейся в реакции  $d + \alpha \rightarrow (n + \alpha) + p$ .

Особенностью реакций изучаемого типа является то, что в формировании конечного канала доминирующую роль играют ядерные силы. Это объясняется тем, что в ядерных реакциях с участием короткоживущих резонансов с шириной  $\Gamma$  порядка 1 МэВ распад этих резонансов происходит в объеме ядерного взаимодействия, т. е. в области, определяемой радиусом действия ядерных сил  $r_0$ .

Действительно, расстояние  $\rho$  между резонансом  $(x_2 x_3)$  в момент его распада и  $x_1$  — сопутствующим продуктом ядерной реакции — можно представить в виде

$$\rho = (\hbar/\Gamma) v_{1,2,3},$$

где  $v_{1,2,3}$  — скорость относительно движения резонанса и частицы  $x_1$ . Если учесть, что  $\eta_{1,2,3}$  — кулоновский параметр задачи — есть выражение  $\eta_{1,2,3} = z_R z_1 e^2 / v_{1,2,3}$ , где  $z_R$  — заряд резонанса, а  $z_1$  — заряд частицы  $x_1$ , и представить  $v_{1,2,3}$  в виде  $v_{1,2,3} = 2,2 \cdot 10^{-8} z_R z_1 / \eta_{1,2,3}$ , то можно получить следующую зависимость для  $\rho$ :

$$\rho = 1,45 z_R z_1 / (\eta_{1,2,3} \Gamma) \text{ (ферми),}$$

где  $\Gamma$  — ширина резонанса, выраженная в энергетических единицах (МэВ).

В случае, когда ожидается заметное влияние кулоновского поля на распад резонанса, параметр  $\eta_{1,2,3} \gg 0,2$ , отсюда величина  $\rho$  оказывается порядка нескольких ферми, что соответствует радиусу действия ядерных сил. Эти оценки показывают, что реакция  $a + b \rightarrow x_1 + x_2 + x_3$  является прямым ядерным распадом, причем кулоновское взаимодействие становится существенным для частиц  $x_1$  и  $x_2$ , вышедших за пределы действия ядерных сил, т. е. в асимптотике. Таким образом, для описания дифференциального сечения образования частицы  $x_1$  с энергией  $E_1$  в области, где относительная энергия  $E_{23}$  частиц  $x_2, x_3$  близка к резонансной, оказывается достаточным учесть кулоновское взаимодействие частиц  $x_1, x_2$  правильным выбором соответствующей кулоновской волновой функции в конечном состоянии.

Как известно, в рамках многочастичной теории рассеяния амплитуда процесса  $a + b \rightarrow x_1 + x_2 + x_3$ , протекающего с кулоновским взаимодействием частиц  $x_1$  и  $x_2$  в конечном состоянии, может быть представлена в виде [1—3]

$$T(\mathbf{k}_{12}\mathbf{p}_3, E \pm i0) = \langle \Psi_C^\mp(\mathbf{k}_{12})\mathbf{p}_3 | T_S(E \pm i0) | \Psi_{in} \rangle, \quad (1)$$

где  $|\Psi_C^\pm(\mathbf{k}_{12})\rangle$  — кулоновская волновая функция частиц  $x_1, x_2$  в конечном состоянии;  $\mathbf{k}_{12}$  — относительный импульс частиц  $x_1, x_2$ ;  $\mathbf{p}_3$  — импульс частицы  $x_3$  в с. ц. м.;  $T_S(E \pm i0)$  — оператор рассеяния,  $E$  — энергия системы. В дальнейшем мы будем рассматривать импульсы  $\mathbf{k}_{12}$  и  $\mathbf{p}_3$  на поверхности энергии, т. е. будем полагать, что выполняется соотношение  $E = k_{12}^2/2\mu_{12} + p_3^2/2n_3$ , где  $\mu_{12}$  и  $n_3$  — соответствующие приведенные массы. Искомую амплитуду  $T^*(\mathbf{k}_{12}\mathbf{p}_3, E - i0)$  будем записывать в виде  $T(\mathbf{k}_{12}\mathbf{p}_3)$ . Следуя модели одновременного ядерного распада, в которой амплитуда многочастичной реакции определяется только взаимодействием частиц в конечном состоянии, и применяя преобразование уравнения Липмана—Швингера, предложенное в [4], получим выражение для  $T(\mathbf{k}_{12}\mathbf{p}_3)$  в виде

$$T(\mathbf{k}_{12}\mathbf{p}_3) = \langle \Psi_{in} | T_S^+(E - i0) | \Psi_C^+(\mathbf{k}_{12})\mathbf{p}_3 \rangle = \langle \Psi_{in} | A(E + i0) \times \\ \times [1 + G_0(E + i0)(t_{13}(E + i0) + t_{23}(E + i0))] | \Psi_C^+(\mathbf{k}_{12})\mathbf{p}_3 \rangle. \quad (2)$$

Оператор  $A(E + i0)$  выражается через полную функцию Грина  $G(E + i0)$ , его явный вид для дальнейшего несуществен. В (2)  $t_{ij}(E + i0)$  — оператор рассеяния в паре  $(x_i, x_j)$ ,  $G_0(E + i0)$  — свободная функция Грина системы  $(x_1, x_2, x_3)$ .

Для выделения резонансной части амплитуды  $T(\mathbf{k}_{12}\mathbf{p}_3)$ , обусловленной резонансными свойствами оператора  $t_{23}(E + i0)$ , пренебрежем остальными нерезонансными слагаемыми и для ядра оператора  $t_{23}(E + i0)$  используем параметризацию вида [5, 6]

$$t_{23}(\mathbf{k}, \mathbf{k}^0, E + i0) = (E - E_R + i\Gamma/2)^{-1} a(\mathbf{k}, \mathbf{k}^0), \\ a(\mathbf{k}, \mathbf{k}^0) = (-1)^L P_L(\mathbf{k}\mathbf{k}^0) \chi(k) \chi(k^0). \quad (3)$$

В (3) резонанс имеет орбитальный момент  $L$  и характеризуется комплексной энергией  $E_R - i\Gamma/2$ ,  $\chi(k)$  — вершинная функция резонанса,  $P_L(x)$  — полином Лежандра. Амплитуда  $A_R(E + i0) = A(E + i0) \times G_0(E + i0) t_{23}(E + i0)$ , фигурирующая в (2), может быть преобразована к виду

$$A_R(E + i0) = B(E + i0) a g_{01}(E - E_R + i\Gamma/2), \quad (4)$$

где  $g_{01}(z) = (z - \hat{p}_1^2 / (2n_1))^{-1}$ .

Согласно изложенному выше, для матричного элемента  $\langle \Psi_{in} | A_R \times (E + i0) | \mathbf{k}_{23}\mathbf{p}_1^0 \rangle$  можно записать представление вида

$$\langle \Psi_{in} | A_R(E + i0) | \mathbf{k}_{23}\mathbf{p}_1^0 \rangle \cong \chi(k_{23}^0) \sum_{lm} C_l Y_{lm}^*(\mathbf{p}_1^0) \left( E - E_R + i \frac{\Gamma}{2} - \frac{p_1^{02}}{2n_1} \right)^{-1}. \quad (5)$$

Переходя в (5) к координатному представлению и отбрасывая члены, которые не приводят к резонансному поведению в  $T(\mathbf{k}_{12}\mathbf{p}_3)$ , получим

$$\langle \Psi_{in} | A_R(E+i0) | r_{23} \rho_1 \rangle = \text{const} \frac{\exp\{ik_R \rho_1\}}{\rho_1} \chi(r_{23}) \times \\ \times \sum_{lm} C_l Y_{lm}^*(\rho_1), \quad k_R^2 = 2n_1 \left( E - E_R + i \frac{\Gamma}{2} \right), \quad \text{Im} k_R > 0. \quad (6)$$

Отметим, что при переходе от (5) к (6) основной множитель  $\exp\{ik_R \rho_1\}/\rho_1$  возникает при учете вычета в точке  $p_1^0 = k_R$ . Координаты  $r_{23}$  и  $\rho_1$  являются сопряженными импульсам  $k_{23}$  и  $p_1$ ,  $C_l$  — некоторые коэффициенты.

Подставим теперь разложение (6) в формулу (2) и заметим, что область интегрирования по  $\rho_1$  имеет размеры порядка  $(\text{Im} k_R)^{-1}$ , а по  $r_{23}$  — порядка радиуса действия ядерных сил  $r_0$ . Следовательно, при выполнении условия

$$r_0 \text{Im} k_R \ll 1 \quad (7)$$

радиус-вектор  $\mathbf{r}_{12}$  в основной части области интегрирования может быть заменен на  $\rho_1$ . В результате интегралы по  $\mathbf{r}_{23}$  и  $\rho_1$  расцепляются, причем последний известен в явном виде [7]. Окончательно, амплитуда в рассматриваемой области импульсов  $\mathbf{k}_{23}$  и  $\mathbf{p}_1$  имеет вид [8]

$$T(\mathbf{k}_{12} \mathbf{p}_3) = \text{const} \exp \left\{ -\frac{\pi}{2} \eta_{12} \right\} \Gamma(1 + i\eta_{12}) \frac{\gamma^{i\eta_{12}}}{\alpha^{i+i\eta_{12}}} \chi(k_{23}) \sum_{lm} C_l Y_{lm}^*(\rho_1), \quad (8)$$

где  $\eta_{12} = z_1 z_2 e^2 \mu_{12} / k_{12}$  — кулоновский параметр задачи,

$$\alpha = (k_R^2 - p_1^2)/2, \quad \gamma = \mathbf{p}_1 \mathbf{k}_{12} + k_{12} k_R + \alpha. \quad (9)$$

Полученная параметризация амплитуды  $T(\mathbf{k}_{12} \mathbf{p}_3)$  приводит к следующему выражению для сечения реакции:

$$d\sigma = d\sigma_0 \frac{2\pi\eta_{12}}{\exp\{2\pi\eta_{12}\} - 1} \exp\{2\eta_{12}(\arg \alpha - \arg \gamma)\}, \quad (10)$$

где  $d\sigma_0$  — сечение реакции без учета кулоновского взаимодействия фрагментов в конечном состоянии, а параметры  $\eta_{12}$ ,  $\alpha$  и  $\gamma$  определены формулой (9).

Приведенное выражение для сечения при больших относительных скоростях заряженных частиц совпадает с приближением Мигдала — Ватсона, а в случае малых скоростей предсказывает сильное искажение формы резонанса. При малых  $k_{12}$  формула (10) дает правильное пограничное поведение за счет множителя  $2\pi\eta_{12}/(\exp\{2\pi\eta_{12}\} - 1)$ .

В тех кинематических областях реакций типа  $a+b \rightarrow x_1+x_2+x_3$ , где можно пренебречь кулоновским взаимодействием частиц  $x_1 x_2$  в конечном состоянии, для амплитуды процесса получено следующее приближенное выражение:

$$T(\mathbf{k}_{12} \mathbf{p}_3) = \text{const} \left[ k_{23} t_{23}^L(k_{23}) + \lambda \left( \frac{t_{23}^L(k_{23})}{k_R^2 - p_1^2} \right)^{1/2} \right], \quad (11)$$

где  $t^L(k)$  — парциальная амплитуда в паре (2, 3), взятая на поверхности энергии. Параметр  $\lambda$  описывает соотношение on- и off-shell-эффектов. При низких энергиях  $\lambda$  можно считать равным нулю.

Тогда для дифференциального сечения процесса получим

$$\frac{d^3\sigma}{d\Omega_1 d\Omega_3 dE_1} = \text{const} |t_{23}^L(k_{23})|^2 E_{23} \rho_1(E_1). \quad (12)$$

Здесь  $E_{23}$  — кинетическая энергия относительного движения двух частиц (2, 3),  $\rho_1(E_1)$  — фазовый объем. Расчеты показывают, что резонансные параметры (ширина и действительная часть энергии), полученные при анализе максимумов в энергетическом распределении продуктов многочастичных реакций, будут отличаться от параметров, установленных при исследовании соответствующих бинарных реакций, за счет дополнительной зависимости сечения (12) от энергии относительного движения  $E_{23}$ . Этот эффект искажения резонансов мы называем ядерным искажением.

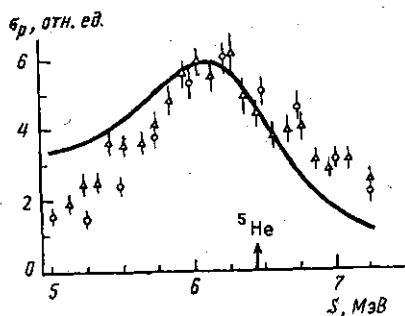
Анализ соотношения (10) позволяет утверждать, что под влиянием кулоновского поля частицы (1) резонансная энергия в паре (2, 3) уменьшается на величину  $\Delta E_R = \eta_{12} \Gamma / 2$ . При условии, если резонанс не располагается вблизи границ фазового объема, используя стандартные кинематические соотношения, можно получить формулу, определяющую величину и направление сдвига резонанса в паре (2, 3) вдоль оси энергии первой частицы в лабораторной системе отсчета (л. с. о.):

$$\Delta E_1 = \pm \left\{ \frac{m_2 + m_3}{M} \eta_{12} \frac{\Gamma}{2} + 2a_1 \cos \theta_1 \left( \sqrt{E_1^* - a_1^2 \sin^2 \theta_1} - \sqrt{E_2^* - a_1^2 \sin^2 \theta_1} \right) \right\}, \quad (13)$$

где  $m_i$  — масса  $i$ -й частицы,  $\theta_1$  — полярный угол регистрации частицы (1) в л. с. о.,  $a_1 = (m_1 m_p E_p)^{1/2} / (m_p + m_1)$ ,  $E_2^* = (E_{\text{total}} - E_R) (m_2 + m_3) / M$ ,  $E_1^* = E_2^* + \Delta E_R (m_2 + m_3) / M$ ,  $M = m_1 + m_2 + m_3$ ,  $m_p$  и  $m_t$  — массы налетающей частицы и ядра-мишени соответственно, а  $E_p$  — энергия налетающей частицы в л. с. о. Если угол регистрации частицы (1)  $\theta_1 \geq \pi/2$ , то резонанс должен сдвигаться вправо по оси  $E_1$ . Если  $\theta_1 < \pi/2$ , то «левый» резонансный пик сдвигается влево, а «правый» — вправо.

Нами были проведены математические расчеты трижды дифференциальных сечений протонов из реакций  $\alpha + d \rightarrow \alpha + n + p$  для различных энергий падающих  $\alpha$ -частиц в интервале 9,5–30 МэВ и различных углов вылета протона и  $\alpha$ -частицы. В энергетическом распределении протонов ( $E$ ) при фиксированных углах вылета протона ( $\theta_1$ ) и  $\alpha$ -частицы ( $\theta_2$ ) анализировались максимумы от резонансного взаимодействия нейтрона (3) и  $\alpha$ -частицы (2) с параметрами  $E_R = 0,89$  МэВ,  $\Gamma = 0,60$  МэВ и значением орбитального момента  $L = 1$ . Расчеты по нашей модели показали сильное отличие дифференциальных сечений в окрестности резонансного максимума от соответствующих сечений, рассчитанных в приближении Мигдала — Ватсона.

Для установления существования эффекта искажения максимумов ядерных резонансов кулоновским полем сопутствующих продуктов реакции нами был проведен анализ экспериментальных энергетических распределений протонов, наблюдаемых в реакции  $\alpha + d \rightarrow \alpha + n + p$  при энергии  $\alpha$ -частицы 10,8 МэВ и для  $\theta_1 = 30^\circ$ ,  $\theta_2 = 15^\circ$  (рисунок). Экспериментальные данные взяты из работ [9] (треугольники) и [10] (кружки). Сплошная кривая рассчитана по формуле (10) настоящей работы. Стрелка показывает положение ре-



зонансного максимума в модели Мигдала — Ватсона. Изучалась та часть спектра, которая соответствует резонансу в подсистеме  $(n + \alpha)$  с энергией  $E_R = 1,0$  МэВ,  $\Gamma = 0,6$  МэВ. Как видно из рисунка, сдвиг положения максимума относительно положения, рассчитанного в рамках модели Мигдала — Ватсона (стрелка на рисунке), согласуется с нашими расчетами.

В заключение заметим, что предложенная здесь модель анализа влияния кулоновского поля на ядерные резонансы, образующиеся в ядерных реакциях, принципиально отличается от модели, предложенной в работе [11], где рассмотрен процесс, протекающий только под действием кулоновских сил и приводящий к образованию долгоживущих парных кулоновских резонансов.

#### СПИСОК ЛИТЕРАТУРЫ

- [1] Мессиа А. Квантовая механика. М., 1978. Т. 2. [2] Chandler C. // Nucl. Phys. 1981. A353. P. 129. [3] Комаров В. В., Попова А. М., Шаблов В. Л. Вторичное квантование в теории рассеяния нескольких нерелятивистских частиц. Курс лекций. Ч. III. М., 1981. [4] Рид М., Саймон Б. Методы современной математической физики. Т. 4. Анализ операторов. М., 1982. [5] Lovelace C. // Proc. Int. Conf. «Strong Interactions and High Energy Physics». L., 1964. P. 437. [6] Комаров В. В., Попова А. М., Шаблов В. Л. // ЭЧАЯ. 1985. 16, № 2. С. 407. [7] Nordsieck A. // Phys. Rev. 1954. 93, N 4. P. 785. [8] Комаров В. В., Попова А. М., Шаблов В. Л., Green A. M. // Mod. Phys. Lett. 1987. N 2. P. 81. [9] Bruno M. et al. // Phys. Rev. 1981. C24. P. 2751. [10] Dasgupta S. S. et al. // Phys. Rev. 1980. C22. P. 1815. [11] Кучиев М. Ю., Шейнерман С. А. // ЖЭТФ. 1986. 90, № 5. С. 1690.

Поступила в редакцию  
17.06.88

ВЕСТН. МОСК. УН-ТА. СЕР. 3, ФИЗИКА. АСТРОНОМИЯ. 1989. Т. 30, № 5

## РАДИОФИЗИКА

УДК 537.862

### ЭЛЕКТРОНИКА ВОЛНОВОДА С ДИАФРАГМАМИ ПРИ НАЛИЧИИ В НЕМ ПЛАЗМЫ, ПРОНИЗЫВАЕМОЙ ЭЛЕКТРОННЫМ ПОТОКОМ

В. М. Лопухин, В. С. Никольский

*(кафедра радиофизики СВЧ; кафедра общей физики для физического факультета)*

Изучены волноводные свойства волновода, нагруженного диафрагмами, при наличии в нем электронной плазмы, которую пронизывает поток электронов. Проведен учет теплового движения электронов в плазме и потоке.

**§ 1. Введение. Постановка задачи.** Изучение взаимодействия электронных потоков с медленными электромагнитными волнами в вакуумных системах проводилось во многих работах (напр., [1—10]). В настоящей статье рассматривается задача о распространении электромагнитных волн в волноводе, нагруженном диафрагмами, при наличии в нем электронной плазмы, пронизываемой потоком электронов. При этом поток считается слаботочным, скорости его электронов — нерелятивистскими, а плазма — имеющей малую плотность. Поставленная нами задача не относится к релятивистской сильноточной плазменной СВЧ-электронике, изучению которой посвящено большое число исследований (в частности, [11—13]).